

基础研究

Notch1 胞内结构域慢病毒表达载体及干扰载体的构建

周学亮, 刘季春

南昌大学第一附属医院心血管外科, 江西 南昌 330006

摘要:目的 构建高滴度大鼠N1ICD慢病毒过表达载体(LV-N1ICD)及N1ICD慢病毒干扰载体(LV-N1ICD-shRNA)。方法 以大鼠cDNA文库为模板,PCR法扩增N1ICD,通过定向克隆构建pGC-FU-N1ICD-3Flag穿梭质粒;设计4对N1ICD-shRNA寡核苷酸序列,以构建GVC112-N1ICD-shRNA干扰质粒,将pGC-FU-N1ICD-3Flag和GVC112-N1ICD-shRNA共转293T细胞,检测Flag的表达,筛选理想的GVC112-N1ICD-shRNA干扰质粒。将pGC-FU-N1ICD-3Flag或GVC112-N1ICD-shRNA与pHelper 1.0、pHelper 2.0共转293T细胞,以包装LV-N1ICD和LV-N1ICD-shRNA,分别利用Real-time PCR、药物筛选法进行病毒滴度测定。LV-N1ICD及LV-N1ICD-shRNA分别感染H9c2心肌细胞,利用CCK-8检测细胞活力。结果 pGC-FU-N1ICD-3Flag和GVC112-N1ICD-shRNA质粒经PCR、基因测序及Western-blotting验证构建成功,与pHelper 1.0、pHelper 2.0共转293T细胞后,取上清浓缩,分别获得高滴度LV-N1ICD和LV-N1ICD-shRNA。LV-N1ICD可明显提高心肌细胞活力, LV-N1ICD-shRNA可降低心肌细胞活力。结论 LV-N1ICD和LV-N1ICD-shRNA包装成功,具有Notch1信号通路生物学功能。关键词:Notch信号通路;胞内结构域;慢病毒;质粒构建;RNA干扰;病毒包装

Construction of the N1ICD lentiviral over-expression and interference vectors

ZHOU Xueliang, LIU Jichun

Department of Cardiac Surgery, The First Affiliated Hospital, Nanchang University, Nanchang 330006, China

Abstract: Objective To construct rat N1ICD lentiviral over-expression vector (LV-N1ICD) and N1ICD lentivirus interference vector (LV-N1ICD-shRNA). **Methods** With the rat cDNA as a template, the N1ICD fragment was amplified by PCR to construct pGC-FU-N1ICD-3Flag shuttle plasmid by directly clone. Four pairs of N1ICD-shRNA oligonucleotide sequences were synthesized to construct the GVC112-N1ICD-shRNA interference plasmid. pGC-FU-N1ICD-3Flag and GVC112-N1ICD-shRNA plasmids were co-transfected into 293T cells to screen for the best interference plasmid in the 4 GVC112-N1ICD-shRNA plasmids by detecting Flag expression. pGC-FU-N1ICD-3Flag or GVC112-N1ICD-shRNA plasmid along with with pHelper 1.0 and pHelper 2.0 plasmids were co-transfect into 293T cells to package LV-N1ICD and LV-N1ICD-shRNA, and the virus titer was determined by real-time PCR and drug screening method, respectively. H9c2 cells infected with LV-N1ICD and LV-N1ICD-shRNA respectively were assessed for cell viability using CCK-8 assay. **Results** pGC-FU-N1ICD-3Flag and GVC112-N1ICD-shRNA plasmid were verified by PCR, gene sequencing and Western blotting. Co-transfection of the plasmids with pHelper 1.0, and pHelper 2.0 plasmids into 293T cells obtained high-titer LV-N1ICD and LV-N1ICD-shRNA. LV-N1ICD was capable of promoting the cell viability and LV-N1ICD-shRNA produced an opposite effect. **Conclusion** The vectors LV-N1ICD and LV-N1ICD-shRNA have been successfully constructed and packaged, which have the biological functions of Notch1 signaling.

Keywords: notch signaling; intracellular domain; lentivirus; plasmid construction; RNA interference; virus packaging

Notch信号通路为邻近细胞之间信息交流平台,激活后经二次裂解,释放Notch胞内结构域(Notch intracellular domain, NICD)进入细胞核,启动靶基因转录,发挥生物学效应^[1]。研究发现Notch不仅调节胚胎期心脏的发育和分化^[2],而且刺激未成熟心肌细胞的增殖^[3],促进静止期心肌细胞重新进入细胞周期,有利于损伤心肌的再生修复^[4]。最新研究发现Notch1信号通路

的激活可加快心肌梗死后期心功能的恢复^[5]。因此本研究将包装高滴度Notch1胞内结构域(Notch1 intracellular domain, N1ICD)慢病毒过表达载体(N1ICD lentiviral vector, LV-N1ICD)及N1ICD慢病毒干扰载体(N1ICD-shRNA lentiviral vector, LV-N1ICD-shRNA),并研究其在H9c2心肌细胞中的生物学功能,为探讨Notch1信号通路在心肌保护作用奠定研究基础。

收稿日期:2014-10-22

基金项目:国家自然科学基金(81260024);江西省自然科学基金(20122BAB205026, 20132BAB205033)

Supported by National Natural Science Foundation of China (81260024).

作者简介:周学亮,博士,主治医师,E-mail: Dr_zhouxuliang@163.com

通信作者:刘季春,博士,教授,主任医师,E-mail: Liujiichun999@163.com

1 材料与方法

1.1 材料

1.1.1 细胞及菌株 293T细胞、H9c2心肌样细胞购于中科院上海生命科学院细胞库,DH5α化学感受态细胞购

于Invitrogen。

1.1.2 大鼠cDNA文库及慢病毒载体系统 大鼠cDNA文库来购于TAKARA;pGC-FU-EGFP-3Flag Vector、GV112 Vector、pHelper 1.0 plasmid、pHelper 2.0 plasmid购于上海吉凯基因化学技术有限公司。

1.1.3 主要试剂 Taq DNA polymerase 购于北京全式金生物技术有限公司,限制性核酸内切酶(*Age* I、*Nhe* I、*Eco*R I)购于New England Biolabs;*T*₄ DNA Ligase 购于TaKaRa,凝胶回收试剂盒及质粒小提试剂盒购于OMEGA, In-Fusion PCR Cloning Kit 购于Clontech laboratories; Lipofectamine™ 2000 购于Invitrogen,细胞裂解液购于碧云天生物技术研究,小鼠抗Flag单克隆抗体购于anbo,小鼠抗β-Actin单克隆抗体购于Cell signaling technology;辣根过氧化物酶标记山羊小鼠IgG均购于北京中杉金桥公司,化学发光试剂盒(SuperSignal West Pico Chemiluminescent Substrate)购自美国Pierce,CCK-8试剂盒购于Solarbio。

1.1.4 引物设计与合成 根据GeneBank中的大鼠Notch1 基因编码序列(NCBI Reference Sequence: NM_001105721),Primer Premier 5.0 设计N1ICD克隆引物并插入*Age* I 与*Nhe* I 酶切位点(Forward Primer: 5'-GAGGATCCCCGGGTACCGGTCGCCACCATGGTGCTGCTGTCCCGCAAGC-3', Reverse Primer: 5'-TCATCCTTGTAGTCGCTAGCCTTAAATGCCTCTGGAATG-3'),产物大小为2364 bp;设计N1ICD鉴定引物(Forward Primer: 5'-GTGCAGACCCAGCAGGTG-3', Reverse Primer: 5'-AGCGTA AAAGGAGCAACATAG-3'),产物大小为665 bp;设计LV-N1ICD Real-time PCR 引物(Forward Primer: 5'-AATTCCGTGGTGTGTCG-3', Reverse Primer: 5'-AAGGTCCGCTGATTGAG-3'),产物大小为123 bp;设计GV112通用引物(Forward Primer: 5'-CCTATTTCCCATGATTCC TTCATA-3', Reverse Primer: 5'-GT AATACGGTTATC CACGCG-3'),产物大小542 bp;一起交Invitrogen公司合成,规格为20D。

1.1.5 干扰片段设计与合成 针对大鼠Notch1 基因,设计4对N1ICD-shRNA 寡核苷酸序列(N1ICD-shRNA-1: GCACAGTGCTGAGTACCAA; N1ICD-shRNA-2: GCCTCTCC ACCAATACCTT; N1ICD-shRNA-3: CCCACATTCCAGAGGCATT; N1ICD-shRNA-4: TCTGGATGCCCCGAATGCAT),分别插入*Age* I 与*Eco*R I 酶切位点,交Invitrogen公司合成,规格为20D。

1.2 方法

1.2.1 pGC-FU-N1ICD-3Flag 重组质粒构建及鉴定 以大鼠cDNA文库为模板,PCR法获得N1ICD,经In-Fusion PCR Cloning Kit 交换入pGC-FU-EGFP-

3Flag Vector,转化DH5α感受态细胞,接种于氨苄青霉素(Amp⁺,100 μg/ml)的LB培养基平板,次日随机挑选阳性单克隆菌落,菌落PCR鉴定转化子,送基因测序,无突变的克隆命名为pGC-FU-N1ICD-3Flag 重组质粒。利用Lipofectamine™ 2000分2组(Control组:转染pGC-FU-EGFP-3Flag Vector,Overexpression组:转染pGC-FU-N1ICD-3Flag 重组载体)转染293T细胞,48 h后提总蛋白,Western-blotting检测Flag及β-Actin表达。

1.2.2 GVC112-N1ICD-shRNA 干扰质粒构建及筛选 将4对Oligonucleotide退火形成双链,*T*₄ DNA Ligase 连接*Age* I 与*Eco*R I 双切酶后的双链Oligonucleotide、GVC112。将4组连接产物转化DH5α感受态细胞,接种于Amp⁺的LB培养基平板,次日随机挑选阳性单克隆菌落,使用GV112通用引物PCR鉴定阳性转化子,行基因测序,序列无误后分别命名为GVC112-N1ICD-shRNA-1、GVC112-N1ICD-shRNA-2、GVC112-N1ICD-shRNA-3、GVC112-N1ICD-shRNA-4。按Lipofectamine™ 2000方法,分5组进行转染293T细胞,其中Control组为pGC-FU-N1ICD-3Flag+无义干扰质粒、N1ICD-shRNA-1组为pGC-FU-N1ICD-3Flag + GVC112-N1ICD-shRNA-1、N1ICD-shRNA-2组为pGC-FU-N1ICD-3Flag + GVC112-N1ICD-shRNA-2、N1ICD-shRNA-3组为pGC-FU-N1ICD-3Flag + GVC112-N1ICD-shRNA-3、N1ICD-shRNA-4组为pGC-FU-N1ICD-3Flag + GVC112-N1ICD-shRNA-4,48 h后提总蛋白,Western-blotting检测Flag及β-Actin表达。

1.2.3 N1ICD 及N1ICD-shRNA 慢病毒包装与浓缩 将pGC-FU-N1ICD-3Flag/GVC112-N1ICD-shRNA 20 μg,pHelper 1.0 15 μg,pHelper 2.0 10 μg共转293T细胞,48 h后,收集上清液,浓缩纯化,获得LV-N1ICD及LV-N1ICD-shRNA 慢病毒载体,分别采用Real-time PCR 及药物筛选法测定LV-N1ICD 及LV-N1ICD-shRNA滴度。

1.2.4 H9c2心肌细胞慢病毒感染 H9c2心肌细胞铺板,感染增强液(ENi.S)稀释病毒至20感染复数(MOI),去除半量DEME+10%FBS,加入稀释病毒,再加入5 μl/ml Ploybrene,混匀,孵育24 h后,更换DMEM+10% FBS,继续培养72 h。

1.2.5 细胞增殖检测 H9c2心肌细胞铺96孔板,每孔加入10 μl CCK-8溶液,CO₂培养箱内继续孵育1.5 h,酶标仪测定450 nm吸光度。

2 结果

2.1 pGC-FU-N1ICD-3Flag 重组质粒成功构建

N1ICD经PCR扩增后,1% 琼脂糖凝胶电泳可见一条约2364 bp的特异条带(图1A),与预计结果相符。将

NIICD 插入 pGC-FU-EGFP-3Flag Vector 获得 pGC-FU-NIICD-3Flag 转化子, 菌落 PCR 鉴定, 1% 琼脂糖凝胶电泳可见一条约 665 bp 的特异条带 (图 1B), 与预计结果相符。DNAMAN (Version 6.0.3.99) 比对分析基因测序结果, 与 NIICD 基因编码序列完全一致 (图 1C)。

将pGC-FU-N1ICD-3Flag质粒转染293T细胞,48 h后提总蛋白,Western-blotting显示Flag在Overexpression组表达,位置在89 000左右,提示pGC-FU-N1ICD-3Flag重组质粒构建成功,功能正常(图1D)。

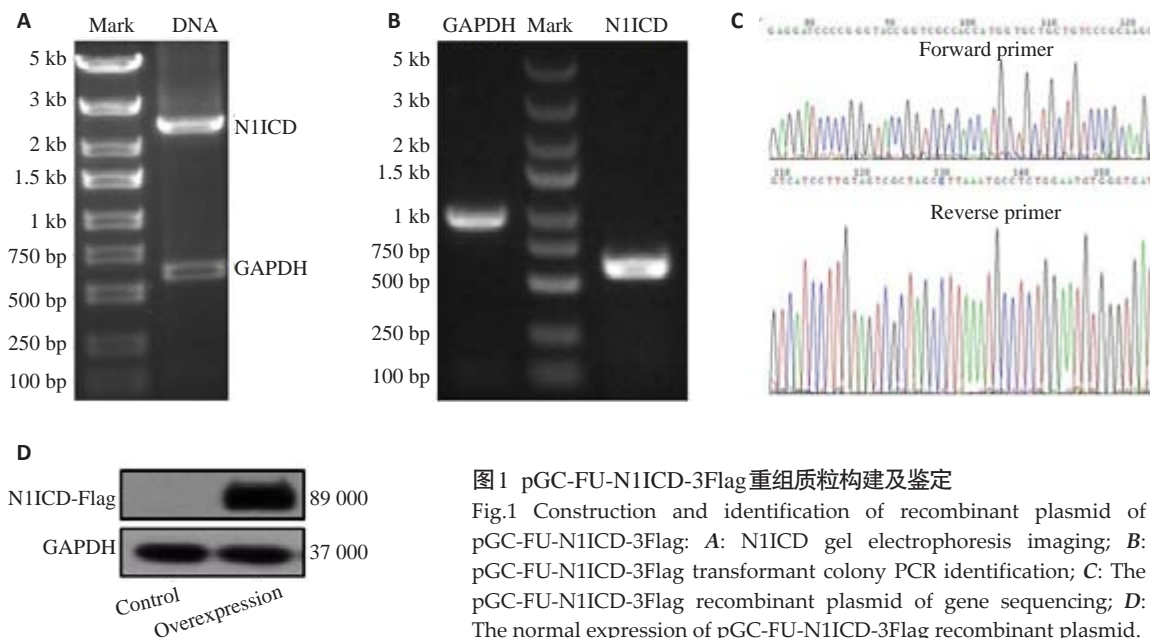


图1 pGC-FU-N1ICD-3Flag重组质粒构建及鉴定

Fig.1 Construction and identification of recombinant plasmid of pGC-FU-N1ICD-3Flag: **A:** N1ICD gel electrophoresis imaging; **B:** pGC-FU-N1ICD-3Flag transformant colony PCR identification; **C:** the pGC-FU-N1ICD-3Flag recombinant plasmid of gene sequencing; **D:** The normal expression of pGC-FU-N1ICD-3Flag recombinant plasmid.

2.2 GVC112-N1ICD-shRNA 干扰质粒成功构建及筛选

GVC112-N1ICD-shRNA 阳性转化子菌落 PCR 鉴定, 1% 琼脂糖凝胶电泳可见一条约 586 bp 的特异条带, 与预计结果相符 (图 2A)。DNAMAN 比对分析基因测序结果, 与 N1ICD-shRNA 基因序列完全一致 (图 2B~E)。将 GVC112-N1ICD-shRNA 干扰质粒与 pGC-FU-N1ICD-3Flag 重组质粒共转 293T 细胞, 48 h 后提总蛋白, Western-blotting 显示 Flag 在第 4、5 组表达最低, 约为 Mock 组的 90%, 提示 GVC112-N1ICD-shRNA-2、GVC112-N1ICD-shRNA-3 可有效干扰 N1ICD (图 2F)。本课题选取 GVC112-N1ICD-shRNA-3 作为后续实验研究。

2.3 LV-N1ICD、LV-N1ICD-shRNA滴度测定

利用Real-time PCR测定LV-N1ICD滴度,分析不同浓度病毒感染后样品组的Ct值及表达量(表1), 10^{-4} μ l组和Con组样品间Ct值存在2个左右差异,认为在 10^{-4} μ l组样品中存在病毒颗粒。假定该组样品含有至少1个病毒颗粒,则LV-N1ICD滴度为: $1/(1.00E-04) \times 20 = 2.00E+5 TU/\mu l = 2.00E+8 TU/ml$ 。

因 LV-N1ICD-shRNA 带有 Puromycin 抗性,所以采用药筛法测定滴度,即通过感染后活细胞数量来判断滴度数值,其值等于带有活细胞数除以病毒原液量。在本实验中,加入 $1\text{E}-5\text{ }\mu\text{l}$ 病毒原液的孔中观察到 5 个细胞

存活,说明该孔中至少有5个病毒颗粒感染了细胞,则LV-N1ICD-shRNA滴度为: $5/(1E-5)=5E+5TU/\mu l=5E+8TU/ml$ 。

2.4 Notch1对心肌细胞增殖功能的影响

LV-N1ICD 及 LV-N1ICD-shRNA 分别感染 H9c2 心肌细胞,利用 CCK-8 检测细胞活力。结果显示(图 3):LV-N1ICD 可明显提高心肌细胞活力($P<0.05$), LV-N1ICD-shRNA 可降低心肌细胞活力($P<0.05$),可见 Notch1 可改善心肌细胞增殖能力。

3 讨论

Notch 信号通路无特异性激动剂,因此特异性激活 Notch 信号通路并非易事。利用 Notch 激动型抗体,虽然可以激活 Notch 信号通路,但特异性不佳^[6]。Gude 等^[7]用 50 ng/ml 的 HGF 刺激大鼠心肌细胞,在 HGF/c-Met/Notch 信号转导下间接激活 Notch1,在 5 min 内可使 Notch1 及 Hes1 表达增加,效应可维持到 6 h,但 HGF 仍不能直接激活 Notch1。Notch 信号通路抑制剂包括 γ -secretase 抑制剂、Notch 受体及配体单克隆抑制型抗体,中药成分姜黄素等^[8]。作为 γ -secretase 抑制剂,DAPT 可以抑制 Notch 蛋白向 NICD 分裂的关键过程,能够非特异性阻断 Notch 信号通路的所有亚型,同样不适合 Notch1 信号通路的特异性研究^[9]。因此利用基因

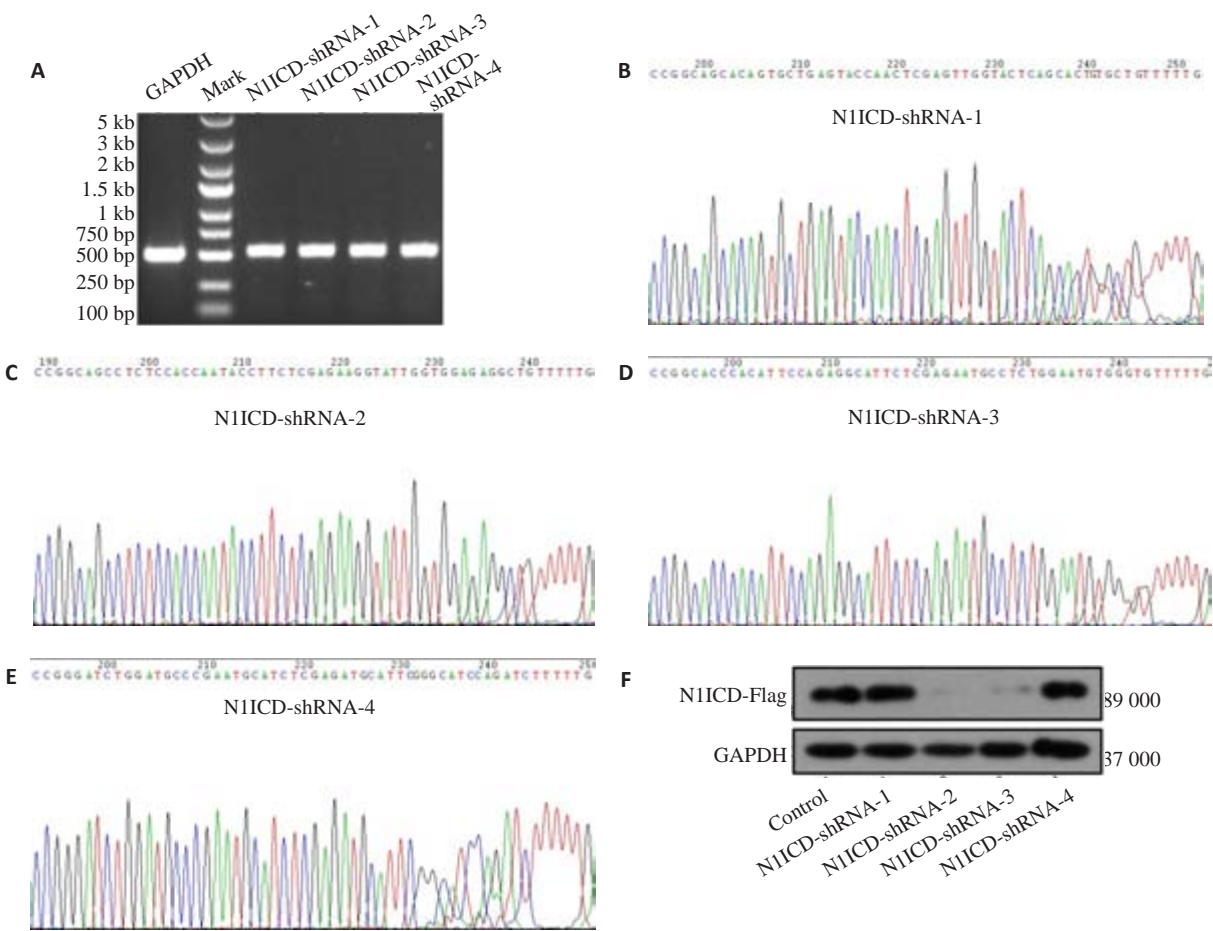


图2 GVC112-N1ICD-shRNA干扰质粒构建

Fig.2 Construction of GVC112-N1ICD-shRNA interference plasmids: A: GVC112-N1ICD-shRNA transformant colony PCR identification; B-E: GVC112-N1ICD-shRNA interference plasmid DNA sequencing; F: Screening of GVC112-N1ICD-shRNA interference plasmid.

表 1 不同浓度病毒感染后样品组的Ct值及表达量分析

Tab.1 Ct value and expression analysis of different concentrations of virus infection

Sample	Ct _{Actin}	Ct _{N1ICD}	Ct _{N1ICD} Mean	ΔCt=Ct _{N1ICD} Mean -Ct _{Actin}	ΔCt _{Con} - ΔCt _{sample}
Con	14.87	31.92	31.9	17.030	0.000
		31.88			
1 μl	14.26	17.09	17.115	2.855	14.175
		17.14			
10 ⁻¹ μl	14.47	20.49	20.475	6.005	11.025
		20.46			
10 ⁻² μl	14.58	23.81	23.78	9.200	7.830
		23.75			
10 ⁻³ μl	14.6	26.7	26.62	12.020	5.010
		26.54			
10 ⁻⁴ μl	14.63	28.98	28.975	14.345	2.685
		28.97			
10 ⁻⁵ μl	14.83	31.38	31.345	16.515	0.515
		31.31			

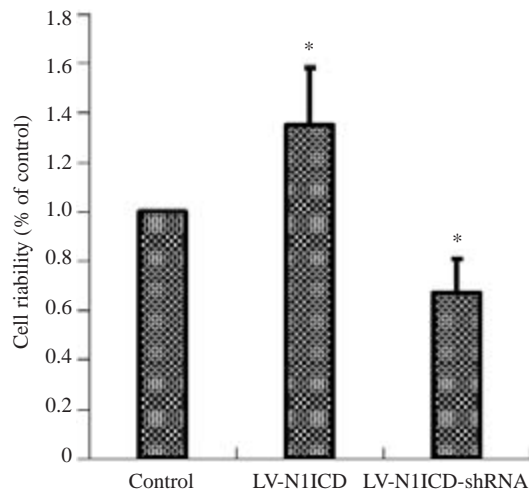


图3 Notch1对心肌细胞活力的影响

Fig.3 Effect of Notch1 on myocardial cell viability. $P<0.05$ vs LV-N1ICD; * $P<0.05$ vs LV-N1ICD-shRNA ($n=3$).

异位表达和RNAi技术,针对特定Notch1蛋白构建相应表达载体,可达到特异性激活或抑制Notch1信号通路的作用。

Notch蛋白由胞外结构域和胞内结构域组成,胞外结构域由36个表皮生长因子样重复序列和3个半胱氨酸富集的LIN12/Notch重复序列组成,表皮生长因子样重复序列负责与Notch配体结合,LIN12/Notch预防Notch信号自身激活^[10]。NICD含1个RAM23结构域、6个锚蛋白/cdc10重复序列、2个核定位序列、1个转录激活结构域、1个C末端富集脯氨酸、谷氨酸、丝氨酸、苏氨酸的PEST序列。Notch蛋白编码序列长达近7.6kb,全长难以完整克隆。由于Notch信号通路主要通过NICD发挥功能,因此对NICD的功能区进行选择克隆,是近年Notch信号通路研究的主要手段之一^[11]。但NICD在Notch蛋白编码序列上的功能定位各家报道不一,Tezuka K等利用RT-PCR技术获得小鼠cDNA文库,在Notch1 5428-6549位点定向克隆N1ICD,经验证具有Notch1蛋白的生物学功能^[12]。由于国内外尚无大鼠N1ICD载体构建报道,因此我们选择Notch第二分裂位点(Gly1743和Val1744^[13])作为N1ICD基因克隆位点,经验证该片段具有Notch1蛋白的生物学效应。

目前,用于目的基因转移的病毒载体主要包括腺病毒、腺相关病毒、逆转录病毒和慢病毒载体^[14]。慢病毒载体是逆转录病毒的一个亚型,目前应用较多的来源于HIV-1的病毒载体,载体容量大,可感染非分裂期细胞,能在机体内持续表达。由于N1ICD片段较大,涉及细胞及动物实验,对病毒感染效率要求高,后续有可能需要构建N1ICD稳定表达细胞株,因此我们采用慢病毒载体系统构建N1ICD过表达及干扰载体。研究发现Notch1信号通路可刺激缺血心肌细胞增生,产生良好

的心肌保护效应^[7]。国内文献报道应用Notch信号通路阻断剂DAPT能抑制原代乳鼠心肌细胞增殖,促使心肌细胞发生凋亡^[15],我们分别用LV-N1ICD及LV-N1ICD-shRNA感染H9c2心肌细胞,发现Notch信号可提高心肌细胞活力,可见LV-N1ICD及LV-N1ICD-shRNA构建成功,并具有Notch信号的生物学功能,为将来Notch1信号通路在心肌保护中的功能与机制研究奠定了实验基础。

参考文献:

- [1] Guruharsha KG, Kankel MW, Artavanis-Tsakonas S. The notch signalling system: recent insights into the complexity of a conserved pathway[J]. *Nat Rev Genet*, 2012, 13(9): 654-66.
- [2] Macgrogan D, Luna-Zurita L, de la Pompa JL. Notch signaling in cardiac valve development and disease [J]. *Curr Top Dev Biol*, 2011, 91(6): 449-59.
- [3] Collesi C, Zentilin L, Sinagra G, et al. Notch1 signaling stimulates proliferation of immature cardiomyocytes[J]. *J Cell Biol*, 2008, 183(1): 117-28.
- [4] Campa VM, Gutiérrez-Lanza R, Cerignoli F, et al. Notch activates cell cycle reentry and progression in quiescent cardiomyocytes[J]. *J Cell Biol*, 2008, 183(1): 129-41.
- [5] Li Y, Hiroi Y, Ngoy S, et al. Notch1 in bone marrow-derived cells mediates cardiac repair after myocardial infarction[J]. *Circulation*, 2011, 123(8): 866-76.
- [6] Fassbender JM, Myers SA, Whittemore SR. Activating notch signaling post-SCI modulates angiogenesis in penumbral vascular beds but does not improve hindlimb locomotor recovery [J]. *Exp Neurol*, 2011, 227(2): 302-13.
- [7] Gude NA, Emmanuel G, Wu W, et al. Activation of notch-mediated protective signaling in the myocardium[J]. *Circ Res*, 2008, 102(9): 1025-35.
- [8] Bailis W, Yashiro-Ohtani Y, Pear WS. Identifying direct Notch transcriptional targets using the GSI-washout assay [J]. *Methods Mol Biol*, 2014, 1187(3): 247-54.
- [9] Xie K, Qiao F, Sun Y, et al. Notch signaling activation is critical to the development of neuropathic pain[J]. *BMC Anesthesiol*, 2015, 15(3): 41.
- [10] Wang MM. Notch signaling and Notch signaling modifiers[J]. *Int J Biochem Cell Biol*, 2011, 43(11): 1550-62.
- [11] Zhang J, Yin JC, Wesley CS. Notch intracellular domain (NICD) suppresses Long-Term memory formation in adult drosophila flies [J]. *Cell Mol Neurobiol*, 2015(2): 145.
- [12] Tezuka K, Yasuda M, Watanabe N, et al. Stimulation of osteoblastic cell differentiation by Notch [J]. *J Bone Miner Res*, 2002, 17(2): 231-9.
- [13] Rand MD, Grimm LM, Artavanis-Tsakonas S, et al. Calcium depletion dissociates and activates heterodimeric notch receptors [J]. *Mol Cell Biol*, 2000, 20(5): 1825-35.
- [14] Liu YP, Berkhout B. miRNA cassettes in viral vectors: problems and solutions[J]. *Biochim Biophys Acta*, 2011, 1809(11/12): 732-45.
- [15] 杨阳, 段维勋, 周京军, 等. γ -分泌酶抑制剂对正常乳鼠心肌细胞的影响[J]. *中国体外循环杂志*, 2011, 9(2): 89-92.

(编辑:孙昌朋)